

韓半島 沃川帶에 分布하는 含우라늄層의 地質構造規制 및 組成礦物과 우라늄分布와의 相關關係研究

朴 奉 淳*, 蘇 七 煥*

Structural control, and Correlation of Uranium Distribution and Mineralogy of Meta-pelites in Ogcheon Terrain, Korea

Bong-Soon Park* and Chil-Sup So*

Abstract: The rock units of Goesan area in the Ogcheon metamorphic terrain established on the basis of field criteria should be redefined into following sequence. Based on shear senses in secondary small structures which are usually observable in the investigated area, the stratigraphy can be lithologically divided into the lower pelite, pebbly mudstone, upper pelite, quartzite and psammite unit in ascending order. This conclusion is in discordance with a previous opinion; Munjuri formation and Guryongsan formation may be equivalent to upper pelite unit, Iwonri formation and Hwanggangri formation to pebbly mudstone. From this, it may be inferred that isoclinal overturned folds repeatedly occur in the area. The uranium bearing coaly thin layers in upper pelite unit have relatively broad exposures in Deogyeongri block of Goesan area along culmination zone in the central part of the investigated area. It is believed that structural feature in the block recognized complexly refolded synform plunging to southwest.

Mineralogical and radiometric studies were made on 135 representative samples from the Ogcheon Group of Korea. The mineralogy of all black slate samples is qualitatively similar but quantitatively different. The uranium distribution in the studied area show approximately log normal. Uranium in the black slates of the Ogcheon Group was deposited together under same physico-chemical environmental conditions. The chemical and geological factors that controlled the abundance of organic carbon and iron oxides also controlled the uranium content. The relationship of the major components to uranium can be expressed by the following regression equation: $\text{Log}(\text{U} \times 10^4 + 1) = 1.70999 - 0.00367(\text{quartz}) - 0.00512(\text{micas}) - 0.00930(\text{other silicates}) + 0.01911(\text{iron oxides}) - 0.03389(\text{other opaques}) + 0.02062(\text{organic carbon})$.

1. 序 言

우라늄礦은 核燃料資源으로서 그 需給이 날로 增加되고 있는데 韓半島의 中部地帶에 놓인 沃川帶에 넓게 分布하는 炭質變成泥岩層內에는 오래 전부터 低品位의 우라늄이 含有되어 있는 사실이 알려지고 있었다. 本

*高麗大學校 理科大學 地質學科
Dept. of Geology, College of Science, Korea Univ.

格의 探查研究作業이着手된 數年前부터 주로 賦存 상태와 礦量確認만을 위주로 하였다. 含우라늄層準의 地質構造의 規制性과 우라늄成分과 母岩中의 組成礦物과의 相關關係는 富礦帶의 探礦開發에 指標가 될 수 있는 研究로서 現在까지 資源開發研究所가 主管하여 局地의 調查研究가 실시되었다. 礦物學的, 地化學的基礎研究는 극히 制限된 試料에 의하여 地域別 特性을 고려하지 않은채 1977년에 資源開發研究所의 學術

用役으로研究된 바 있고 이때 槐山地域의 構造規制도豫備調查研究가 遂行되었다.

本研究의 目的是 沃川帶의 代表的인 우라늄부존지로 알려진 槐山地區의 地質構造規制를 파악하고 沃川層群內의 含우라늄炭質變成泥岩層의 分布區域을 忠州, 槐山, 新灘津一報恩, 大田一錦山地域으로 4區分하여 광범하게 채취한 試料를 바탕으로 鎌物組成이 우라늄分布에 미친 相關關係를 全體地域과 區分한 地域別로 유출하므로서 探礦, 開發 및 成因究明에 관계되는 기초자료를 제공하려는데에 있다.

含우라늄層의 構造規制性의 一般樣相을 究明하기 위해서는 富礦部位에 관한 沃川帶 全般의 調查研究가 補完되어야 하며 相關關係의 研究에서 얻어진 資料는 試料數의 제한으로 그 신빙성이 완전할수는 없기 때문에 좀더 정확성을 기하기 위하여 앞으로 연구를 계속 확대하여 더욱 많은 試料를 채취하여 處理해야 할 것이다.

本研究는 1979年度 文教部政策課題研究費로 수행되었고 地質構造規制에 관한 것은 朴奉淳이, 組成礦物과 우라늄分布와의 相關關係에 관한 것은 蘇七燮이 研究를 擔當하였다.

2. 含우라늄層의 地質構造規制

2.1. 地質

概要: 調查地域으로 選定한 槐山郡 青川面 北部一帶는 德坪里를 中心으로 含우라늄炭層이 비교적 잘 발달된 뜻으로 過去로부터 炭을 對象으로한 採炭作業이 실시되었다. 最近 이 炭層중에 우라늄이 含有된 것이 알려져 집중적인 採查作業이 進行되었고 基本的인 資料는 李鍾草等(1971)에 의하여 調查發刊된 槐山地質圖幅이 있다.

研究地域은 沃川帶를 構成하는 層중에서 最下部層을除外하고는 모두 分布하며 東端部에 花崗岩이 貫入露出하고 있다. 沃川帶의 中北部에 놓인 本地域一帶의 層序構造는 槐山圖幅에서 設定한 것이 適用되어 왔으나 이번 調査研究 결과 전면적으로 재조정하였다.

本域을 구성하는 變成堆積岩類는 磯質泥岩기원의 含砾千枚岩, 泥質岩기원의 黑色 내지 灰色 및 綠灰色 千枚岩을 주체로 하여 이에 협재된 炭層, 砂質岩層, 石灰岩層과 硅質岩 및 變成砂質岩등으로 대표된다. 含우라늄層은 黑色千枚岩에 협재된 炭層 또는 炭質泥岩層이다(Fig. 1).

이들 堆積岩은 弱한 廣域變成作用과 함께 深成岩의 貫入으로 熱變成되어 重複變成作用을 받았고 下部層들은 강력한 褶曲作用을 받아 심하게 變形되고 있다(Fig. 1).

層序: 既調查發刊된 槐山圖幅에서 的 層序를 다음과 같이 設定하였다. 下部로부터 雲橋里層(變成砂質岩), 米東山層(硅質砂岩), 花田里層(石灰質相), 九龍山層(泥質岩相), 泥院里層(砾質泥岩), 文周里層(泥質岩相) 黃江里層(砾質泥岩)으로 區分하였다. 이러한 岩相層序는 위에 놓인 層들을 “下位帶”로, 아래의 것을 “上位帶”로 之으로서 全體的으로 逆轉된 것임을 전제로 하였고 層들의 分布樣相으로 보아 米東山層이 isoclinal overturned anticline을 구성하고 米東山層과 花田里層이 不整合으로 絶 해야하며 九龍山層의 동의부에 分포하는 雲橋里層도 overturned fold로서 冠部가 노출된 것으로 보았다.

그러나 이번에 실시한 정밀조사결과 ①泥院里層보다 上部에 놓인 層들은 逆轉되지 않았고, ②米東山層도 單斜構造이며 ③花田里層은 層(formation)으로서의 구분할 만한 岩相의 特징이 없고, ④泥院里層과 黃江里層은 별개의 것이 아닌 褶曲으로 반복되는同一層이며, ⑤文周里層과 九龍山層도同一層이고 “九龍山層” 동의부의 “雲橋里層”도 overturned anticline 구조로 노출된 것이 아닌 挾在된 單斜層임을 밝혀냈다. 재조정한 層序를 과거의 層序와 對比하여 table 1에 대략 나타내었다.

Table 1. 槐山地區 沃川帶 變成堆積岩 對比表

槐山·曾坪圖幅		本調查研究
① 雲橋里層	↔	變成砂質岩層
米東山層	↔	硅質砂岩層
花田里層	↔	
九龍山層	↔	
泥院里層	↔	泥質岩層 (砂質岩挾在)
文周里層	↔	
② 黃江里層	↔	砾質泥岩層

各層別로 각설하면 다음과 같다.

砾質泥岩層—本域 東端部에 넓게 分포하며 습곡으로 반복되어 배사(Anticline)의 구조로 다시 좁은 노출을 하고 있다. 화강암과 판입접촉하기 때문에 심하게 열변질하여 호온펠스가 되어 암갈색부분과 유백색 부분이 불규칙한 대상구조를 띠고 있다. 細脈의 石炭이 離行狀으로 배열되고 剪斷절리(shear joint)가 흔히 관찰된다. 砂은 약간 伸張되어 있고 硅岩이 우세하고 석회암, 화강암질암, 천매암류가 포함된다. 黃江里層相이며 이 岩相을 한때 爵子山統으로 別도로 區分된 적이 있다.

泥質岩層—本域의 主體가 되는 이層은 多樣한 岩相을 띠고 있다. 本域의 中央을 北北東方向으로 從走

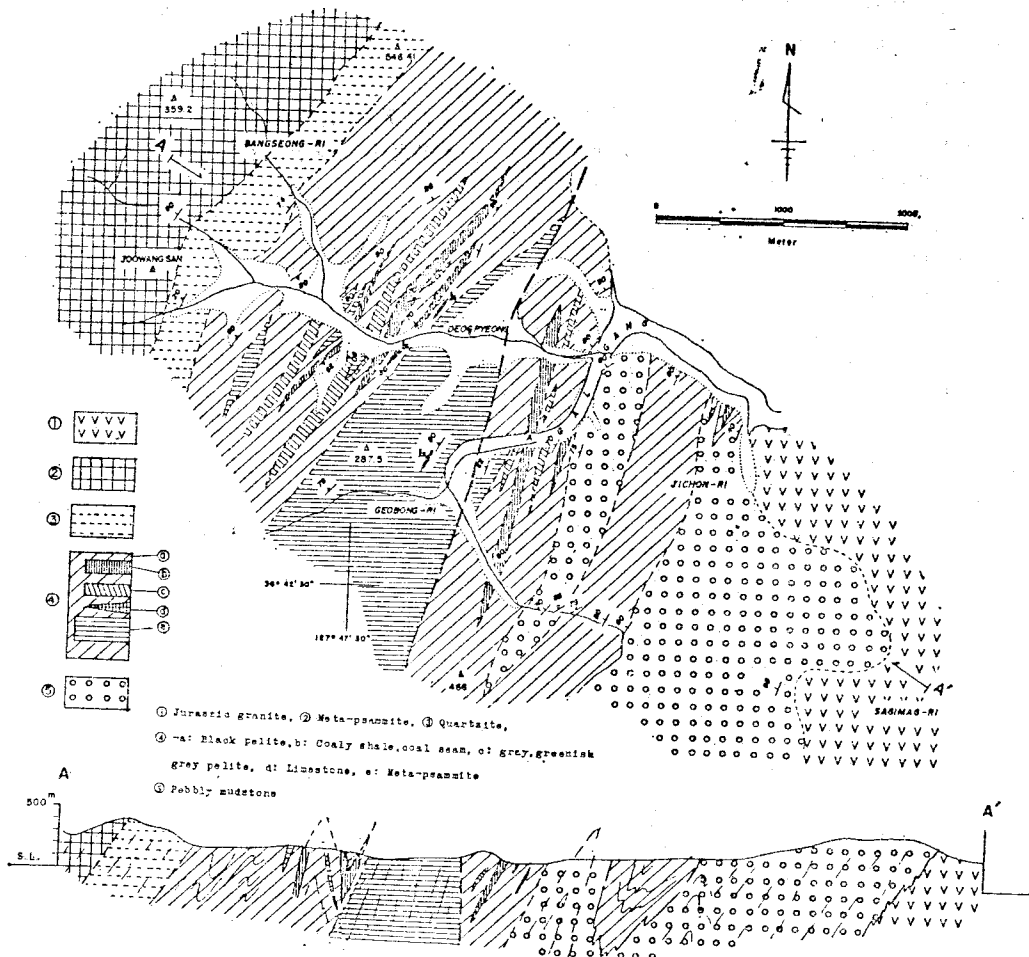


Fig. 1 槐山 德坪里地區 地質圖

①花崗岩 ②鷄鳴山層相(砂質岩) ③大香山珪岩層相(珪岩) ④文周里層相 ⑤黑色礫質岩 ⑥炭質層 ⑦灰色, 綠灰色泥質岩 ⑧石灰岩 ⑨砂質岩 ⑩黃江里層相(礫質泥岩)

하는 斷層을 경계로 分布地域이 東西로 兩分된다. 東側部의 것은 矣質泥岩層과 접하며 지돈리 동측의 향사구조부에서는 심하게 변형이 되고 있다. 西側部는 斷層線에 연하여 砂質岩이 비교적 두껍게 分布한다. 과거에는 이 砂質岩層을 別途의 層(雲橋里層)으로 設定하였으나 泥質岩層中의 한 層員으로 간주된다.

주구성암석은 黑色千枚岩, 黑色슬레이트, 灰色 내지 綠灰色 千枚岩과 暗褐色砂質岩이며 炭質泥岩 또는 炭層과 石灰岩이 薄層으로 挾在한다. 斷層 以東部는 複向斜를 形成하고 있다.

珪質砂岩層一本域 西側에 分布하며 地形的으로 凸部

를 形成하여 둘출하고 있다. 再結晶된 硅岩으로 구성되며 층간에 數枚의 이질암층이 협재한다. 사총리가 드물게 관찰되며 과거에 이 層을 最下部로 보아 同斜過背斜으로 해석하였으나 過褶曲脚 (overturned limb)의 증거가 전혀 없는 單斜構造를 形成하고 있다.

砂質岩層一本域 西端部에 분포하는 이 層은 暗褐色의 치밀한 암석으로 구성되어 육안상으로는 호온펠스에 유사한 것이 특징이다. 흑운모가 다량 포함되고 자철석이 간간 배치되어 있다. 砂質部와 泥質部가 交互하는 곳에서는 層理面이 잘 인지되고 곳에 따라 벽개면이 발달한다.

構造: 大構造의 特性은 沃川褶曲帶의 一般的인 양상을 잘 반영하고 있다. 즉 岩質과 層序의 position에 따라 褶曲의 形式과 變形樣相을 달리하고 있으며 泥質部에서 岩石의 콤페텐시(competency)에 따라 變形의 규모가 다르다.

本域의 構造區分은 中央部의 北北西方向性의 斷層에 따라 兩分할 수 있다. 下部層들이 分布하는 東側帶는 半波長 약 500m의 습곡이 形成되어 磚質泥岩層의 背斜部와 泥質岩層의 向斜部가 形成되어 심한 變形構造가 보인다. 특히 泥質岩層中에는 大褶曲에 수반된 작은 규모의 小褶曲이 수반되었고 적어도 3 단계의 變形過程이 확실히 인정된다. 반면에 斷層의 西側帶는 上部層들이 分布하고 있어 전체적으로는 德平리의 炭質泥岩帶를 軸으로 하는 複向斜構造를 形成하나 東側帶보다는 變形度가 낮은 편이다. 그러나 岩質에 따라 炭質層은 심히 變形되어 流動습곡(flow fold)을 形成하나 東側帶에서 볼 수 있는 킹크습곡(kink fold)은 혼하지 않은 것이 특징이다.

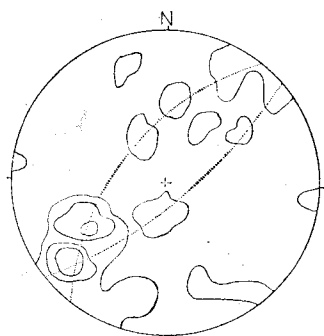


Fig. 2 面構造
(1-3.5-6-8.5-11-13.5% 135 points, L.H.)

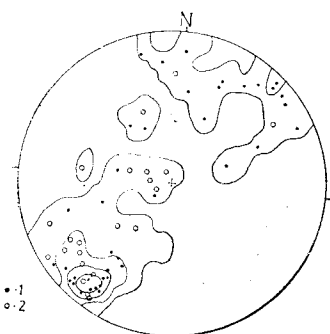


Fig. 4 線構造
1. 5-6.5-11.5-16.5-21.5%, L.H.
1 : crenulation cleavage
2 : 면의 교차선

大褶曲의 규모는 波長이 數mm에서 数km에 달하고 습곡축은 낮은 각도로 南軸斜하고 있으나 局部的으로 南西 또는 北東方向으로 軸斜된 culmination이 形成된 곳에 炭質層이 대규모로 노출하고 있다.

2. 2. 構造要素의 解析

層理面 및 岩石劈開面: 沃川帶를 구성하는 變成堆積岩類는 層理面을 뚜렷하게 남긴 경우가 극히 드물다. 泥質部와 砂質部가 교호하면서 형성된 石炭岩층이나 磚質泥岩中의 磚의 배열상태를 잘 관찰하므로서 측정이 가능하다.

벽개는 대부분이 슬레이터벽개(slaty cleavage)이고 泥質岩中에서 주름벽개(crenulation cleavage)가 잘 관찰되고 變形을 심하게 받은 곳에서는 斷烈(fracture) 내지 剪斷벽개(shear cleavage)가 발달한다.

本域에서 측정한 諸面構造를統計的으로 처리하여 Fig. 2의 contour diagram을 구하였다. maximum의 attitude는 S50°W, 50°의 13.5%의 것으로 代表面이 N

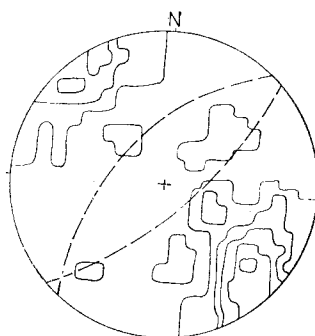


Fig. 3 小褶曲軸
(2-6-12-18%, 51points, L.H.)

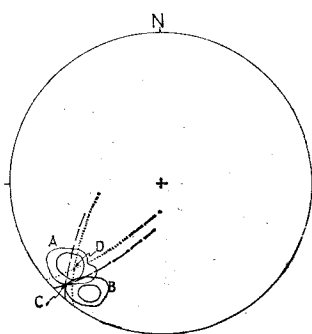


Fig. 5 構造要素의 綜合
A : 소습곡축, B : 신구조,
C : 충리편리면, D : 습곡포탁면

40°E, 65°NW 임을 지시하고 있다. 이와같이 NE 주향에 NW 경사의 面構造와 SE 경사의 것도 6~8.5%의 집중부분(N30°W, 85°SE)을 보여 주고 있는데 이 경향의 代表面은 N46°E, 75°SE로 표시된다.

이 두 代表面의 大圓은 이 지역을 지배하는 大褶曲의 脚部로 간주되며 이를 자료로 구한 습곡의 굳함정도(tightness)는 습곡각(interlimb angle)이 35° 내외의 tight～closed fold이며 두 大圓의 交叉線으로 구한 습곡축의 attitude는 S44°W, 10°로 추정할 수 있다.

小褶曲軸: 岩質과 層序의 深度 및 變形時期의 階度(order)에 따라 小褶曲의 形態(style)를 달리하고 있다. 또 大褶曲의 hinge 부분에서는 變形度가 매우 심하다. 小褶曲의 形態는 단연 유동습곡이 지배적이고 生成시기를 달리하는 킹크습곡(kink fold), 유사습곡(similar fold)등이 관찰되고 규모도 波長이 cm 단위로 부터 m 단위에 이르는 다양성을 보여준다.

測定한 小褶曲軸을 立體投影하였다(Fig. 3). S 48°W, 20°와 S 58°W, 40°의 두 최대치가 얻어지나 前者의 것을 이 지역의 습곡축을 대표하는 것으로 보고 있다. 포인트圖(point diagram)에서 뚜렷한 띠(girdle)이形成되지는 않았으나 低密度等高線이 斷續的이나마 두 大圓上에 놓이는 경향을 볼수 있다. 이 大圓들은 습곡의 包絡面(enveloping surface)로 間接的인 해석이 가능하기 때문에 대습곡구조의 兩翼部에서의 包絡面의 경향을 유도하였다. 즉 東翼部의 包絡面은 N48°E, 80°SE이고 西翼部의 것은 N35°E, 65°NW로서 이 두 大圓의 交叉線은 大褶曲軸에 해당된다고 볼수 있다. 구해진 대습곡축의 attitude는 S 50°W, 20°이다.

소습곡축의 分산은 습곡작용의 시기적 차별에 기인하는 것으로 보며 이를 세밀히 分析하기 위해서는 形태별 연구가 필요하나 이번 연구중에는 자료가 충분치 못하였다.

線構造: 本域에 발달하는 선구조는 crenulation lineation이 가장 우세하고 磁質泥岩層中の 磁의 長軸方向, 雲母類의 定向配列등을 들수 있겠으나 本項에서는 crenulation lineation과 層理-slaty cleavage의 交叉線만을 處理하였다. Crenulation은 泥質岩의 slaty cleavage를 교란하여 生成되었으며 時期를 달리하는 두 crenulation이 중복된 현상도 관찰하였다. 1次的面구조와 2次的面구조의 교차선은 立體投影法으로 구하였다.

이 線構造를 Fig. 4로 表示하였다. Crenulation lineation은 SW 방향에 비교적 많이 집중되어 있으나 NE 방향에도 산재하고 1次적 면구조와 2次적 면구조의

교차선은 단연 SW 방향이 우세하다. Contour diagram의 maximum은 S 35°W, 15°로 구해지는데 本域에 SW의 線구조로 크게 지배되나 대칭방향인 NE의 것과 함께 第1時階(1st stage)의 것을 斜切하는 NW 상한에 산재하는 것은 第2時階(2nd stage)의 것들이다. 소습곡축의 분포경향에서도 이러한 산재 경향은 확인되었는데 本域을 교란시킨 變形作用은 적어도 方向과 時間을 달리하여 2回 이상이 있었다는 것을 반영하고 있다.

考察: 测定한 諸 構造要素를 해석하여 本域의 大構造를 유추하였다. 大褶曲은 翼間角(interlimb angle)이 30°내외의 tight～closed fold이며 中央部의 斷層을 경계로 以西部는 upright 하나 以東部는 inclined 하여 Overturned anticline과 syncline이 반복한다.

面構造로 구한 立體投影圖의 maximum과 이를 極으로 하는 大圓(Fig. 4의 Cw, Ce)는 비대칭적인 대습곡의 兩翼部의 面構造를 나타낸다. 소습곡축의 girdle을 잇는 大圓(Fig. 4의 Dw, De)도前述한 Cw, Ce와 대략 일치한다. Cw와 Ce는 本域의 대습곡 양익부에서의 褶曲包絡面이므로 이들이 이루는 角은 약간 크지 않을수 없다. 이들의 交叉點 C, D와 소습곡축의 maximum A, 線構造의 maximum B의 attitude를 정리하면 table 2와 같다.

Table 2. 構造要素로 구한 대습곡축의 attitude

maxi-mum 교차점	大圓	Attitude		비 고
		면	선	
A	—	—	S48°W, 20°	소습곡축
B	—	—	S35°W, 15°	선 구조
C	Cw Ce	N40°E, 65°NW N46°E, 75°SE	S44°W, 10°	충리, 편리면
D	Dw De	N35°E, 65°NW N48°E, 80°SE	S50°W, 20°	

위의 表에서와 같이 대습곡은 양익부의 주향은 대략 N 35°~50°E이고 翼部의 경사는 65°NW와 75°~80°SE로 대표되며 습곡축은 S 35°~50°W의 trend를 갖고 10°~20° plunge해 있다고 볼수 있다.

그러나 inclined overturned fold의 경우에는 overturned limb의 attitude를 세밀히 관측하여 앞으로 더욱 대구조의 해석에 자료를 보완할 필요가 있다.

전체적으로는 南西方向으로 軸斜되어 있으나 局部의 으로 北東方向으로 軸斜하는 소습곡도 形成되었는데 再褶曲하면서 culmination을 이루고 있다. 이러한 현

상은 中央의 斷層을 경계로 東側帶의 南側은 南西軸斜로, 北側은 北東軸斜하는 경향이 깊다.

2.3. 含우라늄層의 構造規制

分布規制: 沃川帶에서 우라늄이 低品位로 含有된 層은 炭層 내지 炭質泥岩層이다. 本調查 地域에서 이를 炭質層을 挾在하는 部位는 黑色泥質層으로서 槐山圖幅資料의 九龍山層과 대략 같은 層相을 갖고 있으며 文周里層으로 설정한 충준에도 이번 조사로 炭層이 인정되었다.

槐山地區의 含우라늄炭質層은 德坪里地區가 鎮層의 數, 幅 및 延長이 가장 우세하다(Fig. 6). 그러나 德坪里 西側陵線을 中心으로 南北方向으로 추적해 보면 延長은 斷續되다가 첨멸된다.

이와같은 分포양상의 부존양상을 Fig. 7에서 묘식적으로 표시하였다.

炭質層의 배수가 가장 많고 연장이 비교적 긴 德坪里 地區의 산능부에서는 NE 방향으로 軸斜한 소습곡이 우세한 반면에 北部와 南部에서는 SW 방향으로 軸斜한 습곡이 지배하고 있어 中央의 부광대는 구조적으로 culmination에 해당하는 부분이다. 전체적으로는 向斜構造를 形成하고 있으나 이러한 synform 한 구조는 다분히 再褶曲의 양상을 띠우고 있다. 이 synform의 西翼部는 2枚의 炭質層이 인정되나 東翼部에서는 4~6枚가 부존되고 있어 synform anticline 일 가능성성이 크고

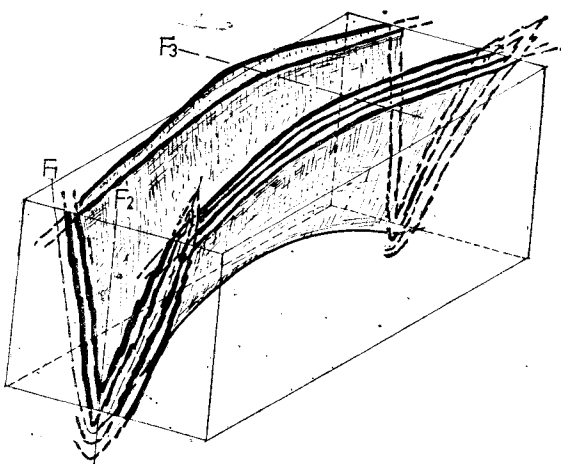


Fig. 7 德坪리지역 탄질층의 부존양상

이 구조가 다시 層에 交叉하는 方向으로 계승곡이 culmination을 形成하였다. 이 culmination의 冠部가 비교적 넓게 노출된 것으로 본다.

中央의 斷層을 경계로 東側帶는 德坪리지구와는 달리 炭質層의 1次의 규모도 작으며 單斜構造를 形成한다. 東側帶의 대습곡은 대부분 SW方向으로 軸斜하고 있어 北部의 부존가능성은 극히 희박하다. 지촌리 북부의 강변에서 빈약한 탄질층이 심한 同斜습곡을 이루며 배태된다.

대습곡구조의 hinge 부분은 탄질층이 팽대하여 두꺼우며 翼部는 薄化하여 層의 膨縮現象이 심하다.

深部發達狀況에 관한 考察: 調査지역중에서 가장 含우라늄탄질층이 우수하게 부존된 德坪리지구의 경우 synform 한 구조를 이루고 있어 兩翼部의 attitude로 算定한 最下部層의 深度는 500m로 예상된다. 그러나 transverse 한 方向으로 再褶曲되어 culmination을 形成하였기 때문에 冠部에서의 深度는 더 감소하여 350~400m 정도로 예상할 수 있다.

Synform 구조의 東翼部에서는 anticlinal 한 第1階의 습곡形態가 保存되어 炭質層의 枚數가 증가되어 있고 그중 일부 層準은 單斜구조로 深部에 까지 延長될 가능성이 배제할 수 없다.

이와같이 本域의 含우라늄炭質層은 黑色泥質岩層中에 협재되어 심히 變形되어 있는데 變形의 過程을 크게 3段階로 區分할 수 있다. 첫째 Slaty cleavage를 形成시킨 段階, 이 시기에 第1階의 褶曲이 褶曲하였다. 두번째 crenulation cleavage를 형성시킨 단계, 이 때에 第2階의 습곡(cleavage fold)를 이루었다. 마지막 단계로는 culmination을 이룬 것으로 小구조요소로는

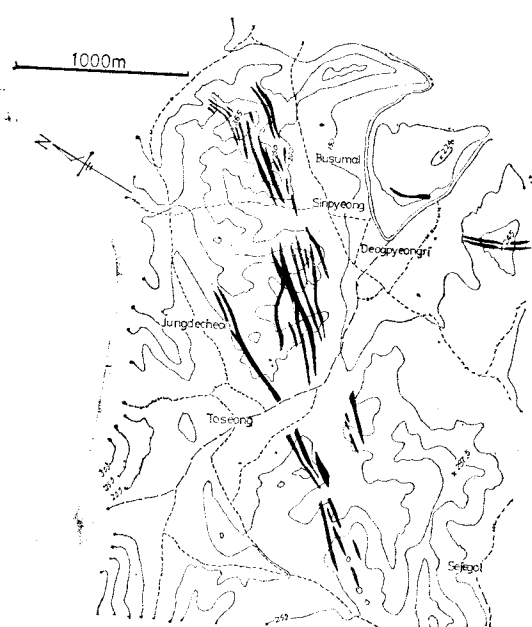


Fig. 6 德坪리 지구의 탄질층 분포도

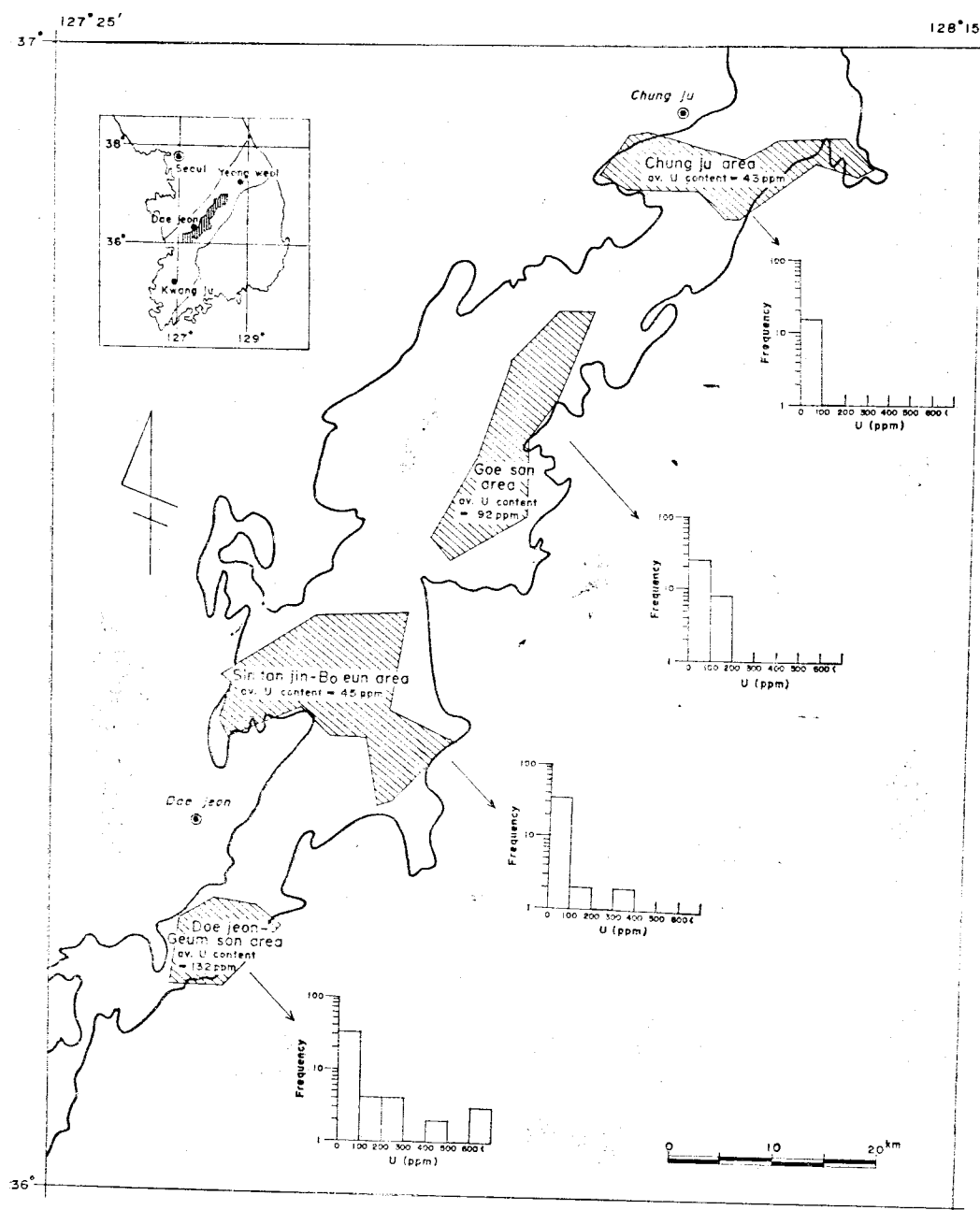


Fig. 8 沃川層群의 分布地域과 含우라늄炭質變成泥岩層中 各試料採取區域의 우라늄含量에 따른 試料의 頻度

극부적인 線구조로 반영되고 있다.

따라서 含ウラ늄炭質層의 最低深度는 superimpose synform structure의 trough 부분에 해당하기 때문에 매우 불규칙할 것이며 炭質層準에서도 우라늄品位의 규제성을 정밀하게 파악하여 開發이 가능한 depth를 算定하는 것은 試誰를 수반한 정밀한 地下地質(subsurface geology)의 탐사를 요한다.

3. 組成礦物과 우라늄分布와의 相關關係

3.1. 試料採取

沃川帶에 넓게 분포하는 沃川層群중 저品位 우라늄을 함유하는 炭質變成泥岩을 대상으로 忠州地域에서 大田地域에 걸쳐, 組成礦物로 판단하여 각각의 구역에서 표준이 될 수 있는 試料를 100여 개 채취하였다. 野外作業에서는 항상 portable radiological survey meter와 UV lamp를 사용하여 우라늄성분과 우라늄광물의 有無를 확인하고 신선한 부분을 대상으로 試料採取를 수행하였다.

3.2. 試料處理 및 分析

各採取된 試料는 실내에서 Decade scaler model 181B 와 Scintillation counter XTB beta crystal을 이용하여 우라늄의 有無를 확인하고 忠州地域에서 18개, 魏山地域에서 32개, 新灘津一報恩地域에서 39개, 大田一錦山地域에서 46개를 최종적으로 선택하여 모두 135개 試料를 本研究에 사용하였다(Fig. 8).

위의 선택된 각 시료로 부터 組成礦物의 定性定量의 有無를 위하여 薄片과 일부 鍊磨片을 제작하였으며,

그의 바로 對應하는 부분은 우라늄과 有機炭素의 分析을 위하여 微粉碎(100 mesh)하였다. 薄片과 研磨片의 製作過程에서는 細粒質이고 특히 結合力이 낮은 組成礦物들이 제거되지 않도록 계속 試料의 固化作業을 필수적으로 수행하였다.

含ウラ늄母岩을 구성하는 透明, 不透明 矿物의 組成比는 Swift automatic point counter를 Ortholux-pol 偏光顯微鏡에 부착시켜 個個薄片上에서 $1/6 \times 1\text{mm}$ 간격으로 平均 1,000점을 세어 구하였다.

우라늄성분은 Spectrophotometer를 이용하여 Standard와 비교 검량하였고, 有機炭素의 分析에는 C-H-N Corder (YANAGIMOTO의 MT-2 Model)를 사용하였다.

위에서 얻은 모든 자료는 IBM 370 컴퓨터를 이용한多元回歸分析(multivariate statistical analysis)으로 處理되었다.

3.3. 岩石記載的 特性

本研究에서는 우선 연구대상으로 선택된 개개 含ウラ늄炭質母岩 試料의 우라늄성분과 有機炭素 및 主組成礦物, 隨伴礦物의 定性定量의 内容을 밝히고 各地域別 差異를 圖示 對比하였다(Fig. 9).

含ウラ늄變成泥岩層의 주성분광물은 微褶曲되거나 群集된 상태 또는 他 隨伴礦物을 被覆充填하여 matrix를 형성하는 炭質物(av. 31.4 vol. %)과, 그중 散點狀 또는 二次的인 침전에 의한 것으로 고려되는 細脈狀의 石英(av. 29.0 vol. %), 不規則한 葉理構造를 이루거나 散點되는 微粒의 雲母類(av. 29.6 vol. %)이고, 수반광물로

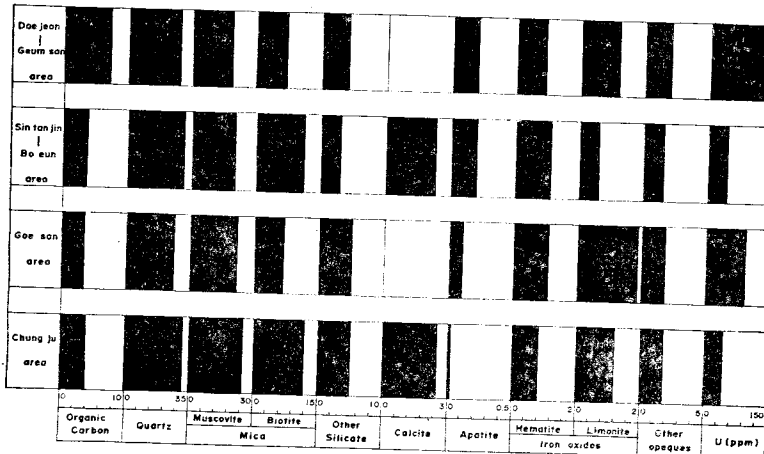


Fig. 9 地域別 含ウラ늄炭質岩중의 重要礦物, 有機炭素 및 우라늄의 平均含量對比
 Other silicates=titanite+tourmaline+penninite+zircon+chloritoid+idocrase
 +oithoclase+epidote+actinolite+sericite
 Other opaques=ilmenite+pyrite+bismuthinite+native bismuth+magnetite
 +chalcopyrite+pyrrhotite.

Organic carbon and U in weight percent.

서 기타 硅酸鹽礦物(av. 4.43 vol. %)은 產出頻度順으로 티탄석(av. 1.3 vol. %), 전기석(av. 0.8 vol. %), 페나이트(av. 0.4 vol. %), 크로리토이드(av. 0.7 vol. %), 그리고 매우 드물게 저어콘(av. 0.04 vol. %), 아이도크레스(av. 0.04 vol. %), 정장석(av. 0.3 vol. %)와 극비량의 배수비아나이트(vesuvianite)가 산출된다. 二次礦物로 녹염석(av. 0.3 vol. %), 양기석(av. 0.1 vol. %), 견운모(av. 0.7 vol. %)와 粘土礦物(av. 0.02 vol. %)이 미량 산재된다. 그의 인회석(av. 0.1 vol. %)가 수반광물로 존재하며 二次の인 沈澱에 의한 calcite (av. 1.7 vol. %)는 細脈狀으로 극히 제한된 지역에서만 산출한다.

不透明礦石礦物(av. 4.0 vol. %)로는 鐵酸化物(hematite, av. 1.0 vol. %), 鐵水酸化物(limonite, av. 1.2 vol. %)이 石英과 함께 炭質物에 밀접하게 수반되며 혼히 탄질석기(coaly matrix)내에 불규칙하게 발달하는 微細한 龜裂部를 이차적으로 충진하고 가끔 올리티(oolitic)組織을 보여준다. 드물게 赤鐵石이 群集된 片質物의 주변부에 콜로이드상태로 침전한 조직도 관찰된다. 그의 주변부가 류콕신(leucoxene)으로 變質된 微粒의 티탄철석(av. 0.1 vol. %)과 혼히 再結晶된 自形의 황철석과 散點狀의 비스무티나이트(bismuthinite), 자연비스무스(native bismuth), 자철석, 황동석, 자류철석이 대부분 미립상으로 硅酸鹽脈石礦物을 부분적으로 置換하며 微量共生한다.

含우라늄地層의 各 地域別試料의 組成礦物은 定性的으로는 매우 類似하나 炭質物과 有機炭素는 大田—錦山地域에서 他地域에 비해 1.5~2 배 많이 함유되고 鐵酸化物은 槐山地域에서 그리고 他不透明礦石礦物은 忠州地域에서 특히 많이 산출됨이 특징이다. Calcite는 新灘津—報恩地域에서는 6개試料에서 0.1~64.5% (av. 15.13%) 산출되나 大田—錦山地域에서는 극히 드물게 단지 2개 시료에서 0.1%와 52.8%, 槐山地域에서는 1개 시료에서만 0.7% 忠州地域에서도 1개 시료에서 88.4% 存在함은 우라늄성분의 抽出을 위한 化學的工程에서 溶濟의 선택에 참고가 될 수 있다.

本研究地域의 岩相은 局部的으로 褶曲된 葉理構造面을 잘 보여 주며, 組成礦物들은 모두 炭質物과 結合되어 있고 불규칙한 接觸面을 가진다. 그중 雲母類는 혼히 極微粒의 炭質物을 흡착 및 포유하고 있으며 특히 鐵酸化物은 炭質物에 매우 치밀하게 수반된다.

調查地域別試料採取數와 採取된 시료의 우라늄 및 有機炭素의 平均含量은 table 3에 기재하였다.

Fig. 9에서 各 地域의 有機炭素 및 組成礦物의 定量的內容을 우라늄含量과 비교하면 大田地域에서는 有機炭素만이 우라늄과 比例하고, 槐山地域에서는 褐鐵礦

Table 3. 地域別試料採取數와 採取된 試料의 우라늄 및 有機炭素의 平均含量

地 域	試料數	平均우라늄含量 (ppm)	平均有機炭素含量 (wt. %)
大田—錦山地域	46	132	11.47
新灘津—報恩地域	39	45	3.68
槐山地域	32	92	3.84
忠州地域	18	43	3.16

이 우라늄에 比例하는 수반경향을 현지하게 보여주며, 다른 組成礦物들은 우라늄과 뚜렷한 관계를 갖지 않는 것으로 고려된다.

3. 4. 우라늄礦物의 產出狀態

本研究地域內에 분포하는 低品位含우라늄變成泥岩層에 賦存되는 우라늄礦物은 극히 제한된 區域에서만 관찰될 수 있는데 이들은 극히 적은 양과 微粒子로 산출되므로 야외에서와 실내 시료처리과정에서 肉眼鑑識과 함께 UV lamp를 사용한 螢光色에 의해서만 식별이 가능하였다.

蘇七燮(1980)에 의하면 本地域에 부존하는 우라늄礦物은 강한 黃綠螢光色을 띠고 窄은 黃綠色의 투명한 변성우라노카사이트(meta-uranocircite)와 綠色의 토바나이트(torbernite), 그리고 黃綠色의 오토나이트(autunite)類이다. 이들은 주로 炭質母岩 내에 발달하는 節理面과 壓碎帶 및 그에 수반되는 裂隙 그리고 葉理構造面을 따라 그 表面部에 1mm 이하의 散點狀 또는 窄은 带의 斑點狀으로 부존된다. 그중 변성우라노카사이트와 오토나이트류는 가끔 탄질석기내의 鐵酸化物에 피복산출됨이 현미경관찰에서 확인될 수 있었다(Fig. 10).

3. 5. 沃川層群 内의 우라늄의 地化學的 分布狀態

沃川層群 중 炭質母岩에 부존되는 低品位 우라늄의

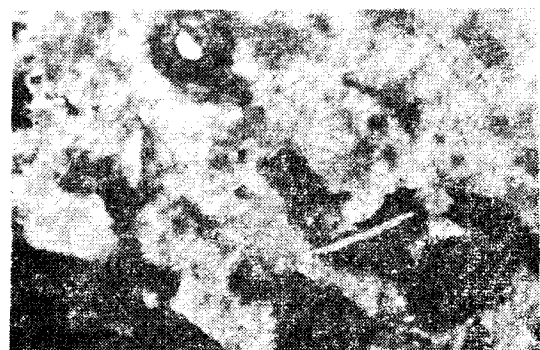


Fig. 10 탄질석기내에 치밀하게 미립의 우라늄광물(meta-uranocircite)이 부분적으로 석영과 수반산출됨(대전—금산지역)

Transmitted light, 150X 1 Nicol.

Table 4. 川帶 含우라늄母岩시료의 有機炭素 및 주요조성광물과 우라늄과의 상관관계

	Log U	Quartz	Micas	Other Silicates	Iron Oxides	Other Opaques	Organic Carbon
Log U	1.000	-0.2721	-0.3399	-0.1226	0.1082	-0.2134	0.5304
Quartz		1.000	0.1319	0.0559	0.0793	0.1283	-0.3122
Micas			1.000	-0.2448	0.0261	0.1326	-0.4277
Other Silicates				1.000	-0.1323	-0.0660	-0.0209
Iron Oxides					1.000	-0.0295	-0.0953
Other Opaques						1.000	-0.0750
Organic Carbon							1.000

Table 5. 大田—錦山地域에서의 組成礦物 및 有機炭素外 우라늄과의 相關關係

	Log U	Quartz	Micas	Other Silicates	Iron Oxides	Other Opaques	Organic Carbon
Log U	1.000	-0.478	-0.607	-0.182	-0.185	-0.480	0.752
Quartz		1.000	0.287	0.199	0.182	0.282	-0.411
Micas			1.000	-0.259	0.203	0.291	-0.554
Other Silicates				1.000	-0.092	0.043	0.057
Iron Oxides					1.000	-0.054	-0.167
Other Opaques						1.000	-0.258
Organic Carbon							1.000

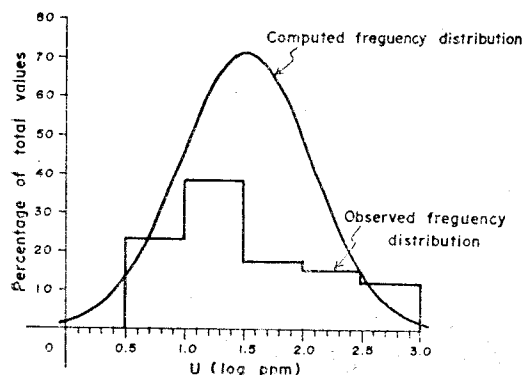


Fig. 11 沃川層群 中의 우라늄의 地化學的 分布狀態

地化學的 分布狀態를 詳히기 위하여 本研究試料 우라늄값의 標準偏差와 平均값을 이용하여 正規分布曲線을 얻었다.

Fig. 11에서 보는 바와 같이 실제에 있어서의 우라늄값으로 구한 度數分布와 비교하면 本研究對象 地域의 우라늄分布狀態는 右側으로 的곡된 log normal distribution을 보여준다.

3. 6. 有機炭素 및 組成礦物과 우라늄과의 相關關係 와 回歸分析

各 地域別 含우라늄母岩의 組成礦物은 3.3項에서 기

술한 바와 같이 定性的으로는 유사하나 우라늄과 有機炭素 및 주조성광물의 定量的 含量에는 비교적 큰 차이를 보여준다.

含우라늄母岩의 有機炭素 및 주조성광물과 우라늄의 부존함량과의 관계를 밝히기 위하여 IBM 370-115를 이용한統計的인 相關分析를 수행하였다. 沃川帶 전 연구지역에서 우라늄이 개개의 組成礦物 및 성분에 수반되는 비율은 表-4에 기재된 相關關係數에서 알 수 있다. 즉 우라늄과 가장 높은 正의 相關關係를 갖는 것은 有機炭素이며, 有機炭素에 대한 우라늄의 수반경향은 약 53%가 된다.

地域別로 고찰하면 大田—錦山地域과 新灘津—報恩地域에서는 역시 有機炭素가 우라늄과 가장 큰 相關關係를 갖고 ($r=0.752$, $r=0.682$), 錦山地域¹⁾과 忠州地域²⁾에서는 鐵酸化物이 有機炭素보다 더 큰 相關度를 보여 준다($r=0.425$, $r=0.644$). 忠州地域에서는 鑛石鑛物도 우라늄과 높은 相關關係($r=0.508$)를 갖는데 이는 특히 黃鐵石에 의한 것으로 고려된다(Tab-5, 6, 7, 8).

炭質母岩의 기타 조성광물은 대부분 우라늄의 부존

우라늄 부존함량과 철산화물에 대한 회귀방정식

註 1) 괴산지역 : $\log (U \times 10^4 + 1) = 1.45627 + 0.06632$ (Iron Oxides)

註 2) 충주지역 : $\log (U \times 10^4 + 1) = 1.27793 + 0.09579$ (Iron Oxides)

Table 6. 新灘津—報恩地域에서의 組成礦物 및 有機炭素와 우라늄과의 相關關係

	Log U	Quartz	Micas	ther OSilicates	Iron Oxides	Other Opaques	Organic Carbon
Log U	1.000	-0.193	-0.306	-0.125	0.258	0.037	0.682
Quartz		1.000	-0.095	0.283	0.202	-0.050	-0.447
Micas			1.000	-0.115	-0.237	-0.071	-0.309
Other Silicates				1.000	-0.158	-0.014	-0.223
Iron Oxides					1.000	0.068	0.018
Other Opaques						1.000	0.006
Organic Carbon							1.000

Table 7. 槐山地域에서의 組成礦物 및 有機炭素와 우라늄과의 相關關係

	Log U	Quartz	Micas	Other Silicates	Iron Oxides	Other Opaques	Organic Carbon
Log U	1.000	-0.228	0.058	-0.167	0.425	-0.180	-0.295
Quartz		1.000	0.110	-0.222	-0.373	0.158	0.011
Micas			1.000	-0.422	-0.126	0.081	-0.110
Other Silicates				1.000	-0.262	-0.201	-0.086
Iron Oxides					1.000	-0.209	0.064
Other Opaques						1.000	0.261
Organic Carbon							1.000

Table 8. 忠州地域에서의 組成礦物 및 有機炭素와 우라늄과의 相關關係

	Log U	Quartz	Micas	Other Silicates	Iron Oxides	Other Opaques	Organic Carbon
Log U	1.000	0.185	0.421	0.374	0.644	0.508	0.176
Quartz		1.000	0.372	0.077	0.228	0.239	-0.261
Micas			1.000	0.193	0.315	0.082	-0.151
Other Silicates				1.000	-0.090	0.053	0.667
Iron Oxides					1.000	0.298	0.220
Other Opaques						1.000	-0.002
Organic Carbon							1.000

과 매우 비약한 관계를 갖거나 드물게 逆의 관계(大田地域의 경우 雲母類)를 보여준다.

또한 沃川帶 우라늄의 부존함량과 有機炭素에 대한 회귀방程式은 $\log(U \times 10^4 + 1) = 1.35941 + 0.02548$ (organic carbon)로 표현될 수 있다(Fig. 12).

Fig. 12에서 각研究地域別 有機炭素과 우라늄含量과의 回歸直線 또는 그의 平均값은 沃川帶 전체 연구시료에서의 回歸直線에 매우 접근하여 놓임을 볼수 있고 이것은 沃川層群 중 탄질변성이 암층내의 우라늄이 유사한 地質環境에서 침전되었음을 암시하여 주는 것으로 고려된다. 槐山地域의 경우에는 예외이나 回歸直線의 平均值은 역시 전 시료에 대한 회귀직선에 가까이 놓인다. 또한 沃川帶 각 지역에서 우라늄과 높은 正의相關關係를 갖는 것은 有機炭素와 鐵酸化物뿐인 것으로

로 미루어 이들을 부존시키게 된 지질환경은 역시 우라늄침전에도 큰 영향을 주었음을 추측할수 있다. 이러한 사실은 우라늄礦物의 산출상태 확인을 위한 현미경관찰에서도 인지 할 수 있었다(Fig. 10).

한편 전 연구지역에서의 合우라늄母岩을 구성하는 有機炭素와 모든 主構成礦物이 賦存 우라늄에 대하여 갖는 相關關係는 $r=0.61156$ 이고, 多變數回歸分析(multivariate regression analysis)를 통하여 구한 多元回歸方程式은 $\log(U \times 10^4 + 1) = 1.70999 - 0.00367(\text{quartz}) - 0.00512(\text{mica}) - 0.00930(\text{other Silicates}) + 0.01911(\text{iron oxides}) - 0.03389(\text{other opaques}) + 0.02062(\text{organic carbon})$ 로 表示된다³⁾. 6次元의 回歸直線은 圖面上에 표시될수 없기 때문에 回歸直線에 대한 개개시료의 편차는 數式으로 구하였다. ($\Sigma(Y - \bar{Y})^2/N$, $Y = \text{실제우라}$

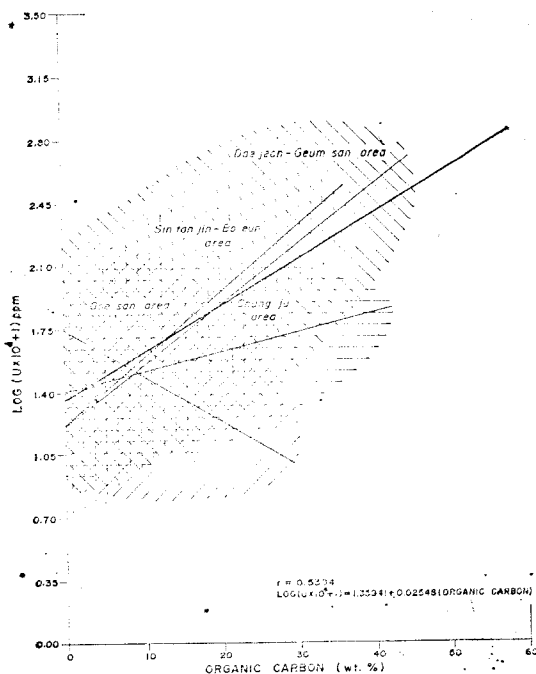


Fig. 12 우라늄과 有機炭素의 相關度(굵은線은 지역별 시료의 回歸直線이고, 黑은線은 全地域試料에 대한 回歸直線) 지역별 우라늄 부존 함량과 유기탄소의 회귀방정식: 대전—금산지역 $\log(U \times 10^4 + 1) = 1.21208 + 0.03338$ (organic carbon), 신탄진—보은지역 $\log(U \times 10^4 + 1) = 1.22135 + 0.03663$ (organic carbon), 괴산지역 $\log(U \times 10^4 + 1) = 1.74781 - 0.02524$ (organic carbon), 충주지역 $\log(U \times 10^4 + 1) = 1.40048 + 0.01094$ (organic carbon)

우라늄의 함량, \bar{Y} =위의 回歸方程式에서 구한 우라늄의 predicted content, table 9).

註 3) 地域별 다원회귀방정식

대전—금산지역 ($r=0.8750$): $\log(U \times 10^4 + 1) = 1.89474 - 0.00262$ (quartz) $- 0.00991$ (micas) $- 0.02293$ (other silicates) $- 0.01009$ (iron oxides) $- 0.05879$ (other opaques) $+ 0.02259$ (organic carbon)

신탄진—보은지역 ($r=0.73088$): $\log(U \times 10^4 + 1) = 1.12198 + 0.00142$ (quartz) $- 0.00045$ (micas) $+ 0.00333$ (other silicates) $+ 0.02411$ (ironoxides) $+ 0.00398$ (other opaques) $+ 0.03823$ (organic carbon)

괴산지역 ($r=0.59583$): $\log(U \times 10^4 + 1) = 1.36234 - 0.00142$ (quartz) $+ 0.00585$ (micas) $+ 0.00696$ (other silicates) $+ 0.07786$ (iron oxides) $+ 0.00556$ (other opaques) $- 0.02631$ (organic carbon)

충주지역 ($r=0.81677$): $\log(U \times 10^4 + 1) = 0.83978 - 0.00037$ (quartz) $+ 0.00540$ (micas) $+ 0.00322$ (other silicates) $+ 0.07972$ (iron oxides) $+ 0.09035$ (other opaques) $+ 0.01564$ (organic carbon)

Table 9. 多元回歸方程式에서의 2乘偏差의 地域別 平均値

大田—錦山	0.1091
新灘津—報恩	0.0873
槐山	0.1598
忠州	0.0617

4. 結論

4. 1. 含ウラ늄層의 地質構造規制

(1) 沃川帶의 우라늄礦層이 가장 우세하게 발달된 槐山地域을 地質構造研究地로 定하여 層序를 下部로부터 碳質泥岩層, 泥質砂質岩層, 硅質岩層, 砂質岩層으로 設定하고 含ウラ늄炭質層이 挾在된 泥質砂質岩層中の 黑色泥岩帶의 構造를 종접적으로 조사연구하였다.

(2) 調査地域의 中央을 從斷하는 斷層을 경계로 構造區를 東側帶와 西側帶로 兩分할 수 있고 西側帶는 複向斜構造로, 東側帶는 Overturned tight~closed fold가 半波長 약 500m의 구모로 발달한다.

(3) 습곡의 形態는 大部分이 flow fold이고 階度가 다른 kink fold가 수반된다.

(4) 層理面, cleavage, 小褶曲軸, 包絡面, crenulation lineation 및 層理-slaty cleavage의 交叉線으로 구한 大褶曲의 軸斜方向은 trend S35°~50°W, plunge 10°~20°이다.

(5) 特別리지구의 富礦帶에서의 含ウラ늄炭質層은 synform 한 형태를 이루고 이 構造의 西翼部의 層數가 東翼部보다 적은 것은 synformal 한 anticline을 이루고 다시 再褶曲되어 culmination을 형성하기 때문이다.

(6) 重複變形의 過程은 slaty cleavage→crenulation cleavage→culmination 形成의 3段階를 거쳐 매우 복雜한 構造를 이루고 있다.

(7) 含ウラ늄炭質層은 水平的으로 斷續的인 雁行狀分布를 하고 深度는 幾何學的으로 500m 정도로 예상되나 Superimposed fold를 이루기 때문에 最深度는 장소에 따라 不規則할 것이다.

4. 2. 組成礦物과 우라늄分布와의 相關關係

(1) 沃川帶에 분포하는 저품위 함우라늄단질변성이 암출을 대상으로 大田지역에서 충주일대에 걸쳐 채취선 별된 135개의 표준시료에 대하여 우라늄, 有機炭素 및 組成礦物의 定性·定量的 내용과 암석기재적 특성을 밝히고 각 지역별로 대비하였다.

각 지역별 含ウラ늄炭質母岩의 조성광물의 내용은 정성적으로 매우 유사하나 產出頻度와 정량적으로는 비교적 많은 차이를 보여준다. 유기탄소 및 조성광물의 정량적 내용을 우라늄 함량과 비교하면 大田地域에

서는 유기탄소만이 우라늄과 비례하고, 槐山지역에서는 鐵酸化物이 우라늄에 비례하는 수반경향을 현저하게 보여주며, 다른 조성광물들은 우라늄의 함량에 뚜렷한 영향을 주지 않는다.

또한 新灘津—報恩지역을 제외하고 方解石이 극히 드물게 존재함은 우라늄의 추출을 위한 화학적 공정에서 용제의 선택이 고려되어야 한다.

(2) 本研究地域 중, 극히 제한된 구역에서 매우 적은 양과 극미립으로 산출되는 우라늄광물(meta-uranocircite, torbernite, autunite)은 주로 탄질모암내에 발달하는 節理面과 壓碎帶 및 그에 수반되는 裂隙 그리고 葉理構造面을 따라 그 표면부에 <1mm의 散點狀 또는 痘은 막의 斑點狀으로 부존된다. 가끔 이들은 coaly matrix 내의 鐵酸化物에 괴복 산출됨이 확인되었다.

(3) 沃川帶 岩質母岩에 부존되는 저품위 우라늄의 지화학적 분포상태는 의곡된 log normal distribution을 보여준다.

(4) 含우라늄모암의 有機炭素 및 組成礦物과 우라늄의 부존함량과의 관계를 밝히기 위하여 IBM 370-115를 사용하여 통계적인 상관분석을 수행한 결과, 沃川帶 전 연구지역에서 우라늄과 가장 높은 正의 相關關係를 갖는 것은 有機炭素이며 우라늄의 수반경향은 약 53%이다. 地域별로 보면 大田—錦山지역과 新灘津—報恩지역에서는 有機炭素에 대한 우라늄과 수반경향이

더욱 높고 ($r=0.75$, $r=0.68$), 槐山지역과 忠州지역에서는 鐵酸化物이 우라늄과 더 큰 相關度($r=0.43$, $r=0.64$)를 갖는다. 또한 忠州地域의 우라늄 부존은 黃鐵石($r=0.51$)에도 큰 영향을 받은 것으로 고려된다. 우라늄의 부존함량과 有機炭素에 대한 회歸方程式은 $\log(U \times 10^4 + 1) = 1.35941 + 0.02548(\text{organic carbon})$ 으로 표현된다.

(5) 각 지역별 有機炭素과 우라늄과의 回歸直線 또는 그의 平均값이 沃川帶 전체 연구지역에서의 回歸直線에 매우 근접하여 놓임은 沃川層群 중 炭質變成泥岩層내의 우라늄이 유사한 지질환경에서 침전되었음을 암시하여 주는 것으로 고려된다. 또한 혈미경 관찰과, 우라늄과 높은 正의 상관관계를 갖는 것은 有機炭素과 鐵酸化物뿐인 것으로 미루어 이들을 부존시키게 된 지질환경은 우라늄 침전에도 영향을 주었음을 추측할 수 있다.

(6) 沃川帶 전 연구지역에서의 함우라늄炭質母岩을 구성하는 有機炭素와 주조성광물이 부존 우라늄에 대하여 갖는 관계를 알기 위하여, 重相關關係와 多變數回歸分析을 통하여 구한 多元回歸方程式은 $\log(U \times 10^4 + 1) = 1.70999 - 0.00367(\text{quartz}) - 0.00512(\text{micas}) - 0.00930(\text{other silicates}) + 0.01911(\text{iron oxides}) - 0.03389(\text{other opaques}) + 0.02062(\text{organic carbon})$ 으로 표시된다.

參 考 文 獻

- 原子力爐核燃料開發事業團, 1970. 海外ウラン資源調査
報告書—韓國.
蘇七燮, 1980. 한국산 우라늄광의 지화학적 및 광물학적 연구(미발간).

- 李鍾革, 金貞煥, 1971. 한국지질도 과 산도록 및 설명서.
海外技術協力事業團, 1973. 大韓民國放射性礦物探查技術
協力報告書—放射能檢層技術